

## Algoritmo QR per il calcolo degli autovalori.

Studieremo dapprima l'algoritmo generale seguendo i seguenti passi:

1. algoritmo di base
2. Teorema di convergenza
3. riduzione del costo computazionale
4. convergenza in ipotesi più deboli
5. condizioni di arresto e ristruzione dell'orto
6. tecniche di traslazione dello spettro.

Vedremo poi come applicare questo algoritmo per il calcolo dei valori singolari.

### 1. Algoritmo di base (Francis, 1961)

È di una semplicità disarmante:

$$A_1 = A \quad \text{Appross}$$

posso  $\kappa$   
si fattorizza  $A_n = Q_n R_n$

si calcola  $A_{n+1} = R_n Q_n$ .

Le metrici sono tutte simili, infatti:

$$A_{n+1} = R_n Q_n = Q_n Q_n R_n Q_n = Q_n A_n Q_n.$$

sotto determinate ipotesi,

Il passo singolare è che le successioni delle  $A_n$  convergono ad una metrica triangolare superiore che, essendo simile alla metrica di partenza, contiene i suoi autovalori sulla diagonale.

Sia

$$A_n \xrightarrow{n \rightarrow \infty} T$$

Essendo  $A_{n+1} = Q_n^T A_n Q_n$ , se la matrice di partenza è simmetrica, ~~tel~~ saranno tutte le matrici delle successive, e di conseguenza il limite sarà una matrice diagonale.

L'algoritmo fornisce le forme di Schur della matrice  $A$ , infatti

$$A_{n+1} = Q_n^T A_n Q_n = -Q_n^T -Q_1^T A Q_1 - -Q_n \\ = U_n^T A U_n \quad , \quad U_n = \prod_{j=1}^k Q_j$$

$$\lim_{n \rightarrow \infty} A_n = \underline{T} = \underline{U^T A U} \quad , \quad U = \prod_{j=1}^{\infty} Q_j \quad \begin{matrix} \text{SOMMA} \\ \text{SCHUR} \end{matrix}$$

$$\Rightarrow \underline{\underline{A}} = \underline{\underline{U}} \underline{\underline{T}} \underline{\underline{U^T}} \quad \begin{matrix} \text{FORMA DI} \\ \text{SCUR} \end{matrix} \quad (\text{esiste per} \\ \text{ogni matrice})$$

Se  $A$  è simmetrica si ~~avrà~~<sup>avrà</sup>  $T = D$ , diagonale e quindi si ottiene la

$$\underline{\underline{A}} = \underline{\underline{U}} \underline{\underline{D}} \underline{\underline{U^T}} \quad \begin{matrix} \text{Fattorizzazione} \\ \text{Spettrale} \end{matrix}$$

con  $U$  matrice degli autovettori.

Per una  $A$  non simmetrica il calcolo degli autovettori si complica, anche perché la fattorizzazione potrebbe non esistere.

Per ottenere la fattorizzazione spettrale è sufficiente che la matrice  $A$  sia normale:  $AA^T = A^TA$

## 2. Teoreme di convergenza

Def metrice di fase  $S = \text{diag}(e^{i\varphi_1}, e^{i\varphi_2}, \dots, e^{i\varphi_n})$ .

È una particolare metrica ortogonale. Osserviamo che  $S^*AS$  non modifica gli elementi diagonali di  $A$ , mentre apporba una modifica alle fasi degli elementi non diagonali.

$$(S^*AS)_{kl} = e_k e_l^{i(\varphi_l - \varphi_k)}.$$

### Teoreme

Se  $A \in \mathbb{C}^{n \times n}$  soddisfa di autovalori distinti in modulo:

$$|\lambda_1| > |\lambda_2| > \dots > |\lambda_n| > 0$$

Se  $X$  la matrice degli autovettori, cioè tale che

$$A = XDX^{-1}$$

con  $D = \text{diag}(\lambda_1, \dots, \lambda_n)$ , e se  $X^{-1}$  fattorizzabile LU senza pivoting:  
(autovalori discendente).

$$X^{-1} = LU.$$

Esistono allora metriche di fase  $S_k$  tali che

$$\lim_{k \rightarrow \infty} S_k^* Q_k S_k = I \quad \text{e} \quad \lim_{k \rightarrow \infty} S_k R_k S_{k-1} = T$$

ove  $T$  è una matrice triangolare superiore. Questo implica

$$\lim_{k \rightarrow \infty} S_{k-1}^* A_k S_{k-1} = T$$

e ~~ogni~~ gli elementi diagonali di  $T$  coincidono con gli autovalori  $\lambda_i$  di  $A$ . Quindi gli elementi diagonali di  $A_k$  tendono agli autovalori di  $A$  ( $\text{diag}(A) \rightarrow (\lambda_1, \dots, \lambda_n)$  normale discendente)

Se  $A$  è hermitiana,  $T$  è diagonale.

### 3. riduzione del costo computazionale

Il passo K dell'algoritmo richiede  $n^3$  operazioni per la fattorizzazione QR ed altrettante per il prodotto matriciale  $RQ$ , condannando un algoritmo di complessità troppo elevata.

Si può trovare una forte riduzione osservando che le forme di Hessenberg sono invariante per un passo dell'algoritmo QR:

$$\begin{pmatrix} x & x & xx \\ x & x & xx \\ x & xx & x \\ xx & & \end{pmatrix} = \begin{pmatrix} x & x & xx \\ x & x & xx \\ x & xx & x \\ xx & & \end{pmatrix} \begin{pmatrix} x & x & xx \\ x & x & x \\ 0 & xx & x \end{pmatrix} \quad A_n = Q_n R_n$$

$$\begin{pmatrix} x & x & xx \\ x & x & x \\ x & xx & x \\ xx & & \end{pmatrix} \begin{pmatrix} x & x & x \\ x & x & x \\ x & x & x \\ x & & \end{pmatrix} \begin{pmatrix} x & x & xx \\ x & x & xx \\ x & xx & x \\ xx & & \end{pmatrix} \quad Q_n R_n = A_{n+1}$$

È possibile dunque effettuare il passo applicando n-1 trasformazioni di Householder o di Givens per annullare gli elementi della sottodiagonale, con una complessità  $O(n^2)$ .

Se inoltre  $A_n$  è tridiagonale (forma di Hessenberg simmetrica) anche  $A_{n+1}$  lo è, e le complessità dei passi sono  $O(n)$ . Se sono necessari anche gli inversori è necessario accumulare anche le  $Q_n$ , e il costo computazionale resta  $n^2$  anche per matrici simmetriche.

Per portare la matrice  $A$  in forma di Hessenberg sono necessarie n-2 trasformazioni di Householder, che si applicano una sola volta, prima di applicare il metodo iterativo.

$$A_K = H_{n-2} - H_2 H_1 A H_1 H_2 - H_{n-1} = Q^T A Q, \quad Q^T H_i = H_{i-2}.$$

Se utilizziamo rotazioni Givens, per l'algoritmo QR, si avrà:

$$R_n = \underbrace{G_{34} G_{23} G_{12}}_{Q_n^T} A_n$$

$$A_{n+1} = R_n \underbrace{G_{12}^T G_{23}^T G_{34}^T}_{Q_n}$$

Per l'associatività del prodotto possiamo anche scrivere:

$$A_{n+1} = G_{34} \left[ G_{23} \left( G_{12} A_n G_{12}^T \right) G_{23}^T \right] G_{34}^T$$

In sostanza, una volta ottenuta una matrice di rotazione di Givens, possiamo applicarla <sup>subito</sup> a sinistra e a destra della matrice  $A_n$  e poi passare alle successive: non c'è bisogno di memorizzarle tutte.

Osservando il modo in cui agiscono le matrici  $G_{n+1}$  e sinistra e a destra è anche possibile dimostrare l'invarianza delle forme di Hessenberg.

#### 4. Convergenza in ipotesi più debole

Le ipotesi fatte per il teorema di convergenza sono molto stringenti, ma è possibile vedere che rispettando il metodo resterà applicabile, con qualche accorgimento aggiuntivo.

È stato richiesto, innanzitutto, che  $\sqrt{\lambda}$  la metrica degli autovalori fosse fattorizzata LU senza pivoting

$$\tilde{X} = LU.$$

Se questo non è possibile, se cioè è necessario il pivoting, si può dimostrare che il metodo converge lo stesso, ma che gli autovalori di  $A$  non verranno ottenuti in ordine di modulo decrescente. Poco male.

L'ipotesi di autovalori distinti in modulo, invece, è essenziale. Infatti nel corso della dimostrazione si ottiene che gli elementi sottodiagonali (gli unici che ci interessano se partiamo in forme di Hessenberg) vanno a zero come  $\left(\frac{\lambda_{i+1}}{\lambda_i}\right)^k$ , con  $|\lambda_{i+1}| < |\lambda_i|$ .

Se per un certo  $r$  si ha  $|\lambda_r| = |\lambda_{r+1}|$ , il corrispondente elemento sottodiagonale non andrà a zero. È stato poi osservato che le sottomatrici

$$A_r^{(k)} = \begin{bmatrix} -\alpha_{rr}^{(k)} & \alpha_{r,r+1}^{(k)} \\ \alpha_{r+1,r}^{(k)} & \alpha_{r+1,r+1}^{(k)} \end{bmatrix}$$

pur non convergendo, ha autovalori che convergono a  $\lambda_r, \lambda_{r+1}$ .

Il resto delle matrici, invece, converge regolarmente.

In caso di non convergenza, di conseguenza, è sufficiente eliminare i blocchi  $2 \times 2$  che non convergono.

Questo capitolo, ad esempio, in presenza di autovalori complessi, o di autovalori reali uguali in modulo e opposti in segno.

## S. Condizioni di arresto e riduzione dell'ordine

Impostando di partire in forme di Hessenberg, un buon criterio di arresto è

$$|\alpha_{p+1,p}^{(n)}| < \varepsilon (|\alpha_{pp}^{(n)}| + |\alpha_{p+1,p+1}^{(n)}|)$$

per tutti i  $p = 1, 2, \dots, n-1$ , dove  $\varepsilon$  è una tolleranza fissata.

In realtà, se la condizione è verificata per un solo  $p$ , si ha

$$A_n = \begin{bmatrix} B_n & D_n \\ E_n & C_n \end{bmatrix}^{\left\{ \begin{array}{l} p \text{ righe} \\ n-p \end{array} \right\}}$$

e dal punto di vista numerico possiamo supporre  $E_n \approx 0_{n-p,p}$ .

Il problema si pone dunque in due sottoproblemi: le ricerca degli autovalori delle matrici  $B_n$  e  $C_n$ , che possono essere fatti separatamente (e anche contemporaneamente  $\rightarrow$  parallelizzazione).

Questo consente di ridurre le complessità.

Il procedimento è detto DEFLAZIONE.

Questo potrebbe essere un problema gestire da queste scomposizioni casistica in sottoproblemi, dal punto di vista dell'implementazione.

## 6. Tecniche di trascrizione dello spettro

La velocità di convergenza dell'algoritmo dipende dal numero

$$\max_{i=1, \dots, m-1} \left| \frac{\lambda_{i+1}}{\lambda_i} \right|.$$

Più ~~l'autovalore~~ operatore rapporto è vicino a 1, più la convergenza è lenta.

Supponiamo che al passo  $k$ -esimo sia disponibile una approssimazione

$\mathbf{z}_k$  di un autovalore; ad esempio dell' $n$ -esimo.

La matrice  $A - z_k I$  avrebbe allora gli autovalori  $\{(\lambda_i - z_k)\}_{i=1}^n$ .

e l' $n$ -esimo sarebbe prossimo a zero. In queste condizioni

l'elemento  $a_{n,n-1}^{(n)}$  tenderebbe a zero molto presto.

L'algoritmo viene così modificato:

Passo k

$$\text{fattorizzazione } A_n - z_k I = Q_n R_n$$

$$\text{prodotto } A_{n+1} = R_n Q_n + z_k I.$$

Infatti si ottiene

$$A_{n+1} = Q_n^T Q_n R_n Q_n + z_k I = Q_n^T A_n Q_n + z_k I$$

e le metriche delle successioni restano tutte simili.

Questo strategema conserva ovviamente le forme di Krylov e (e le simmetrie) e non modifica le complessità.

Una buona scelta per il parametro di shift  $\tau_n$  è  
fatto se

$$\tau_n = \overset{(u)}{\alpha_{nn}}.$$

Alternativamente si può prendere l'elemento più prossimo  
ad  $\overset{(u)}{\alpha_{nn}}$  della sottomatrice ~~probabile~~

$$\begin{bmatrix} -\overset{(u)}{\alpha_{nn}} & \overset{(u)}{\alpha_{n-1,n}} \\ \overset{(u)}{\alpha_{n-1,n-1}} & \overset{(u)}{\alpha_{n,n}} \end{bmatrix}. \quad \begin{array}{l} \text{Shift di} \\ \text{Wilkinson} \end{array}$$

In questo caso  $\tau_n$  potrebbe essere complesso, e la tecnica  
di trascrizione andrebbe modificata (si fanno due passi ~~alla volta~~  
alla volta).

In entrambi i casi si può dimostrare che la convergenza  
a zero dell'elemento  $\overset{(u)}{\alpha_{n,n}}$  è del Terzo ordine:  $O\left(\left|\frac{\lambda_n}{\lambda_{n+1}}\right|^3\right)$

Una volta che questo elemento verifica la condizione Si stop,  
si può passare alla matrice di ordine  $n-1$  ottenuta con l'elenco  
dell'ultima riga e dell'ultima colonna Si Arie, ed applicare  
l'algoritmo QR con trascrizione dello spettro in maniera  
analoga.

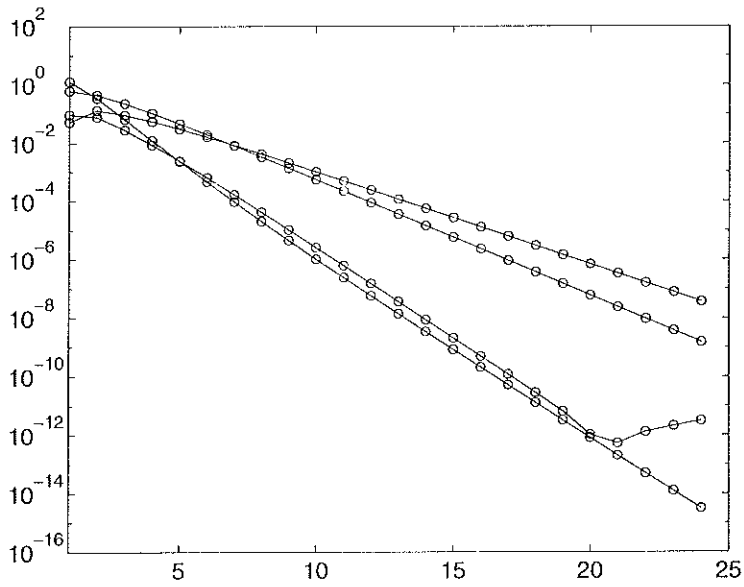
La trascrizione dello spettro consente quindi anche di gestire le  
riduzione dell'ordine in maniera ordinata.

## Metodo QR per la determinazione degli autovalori

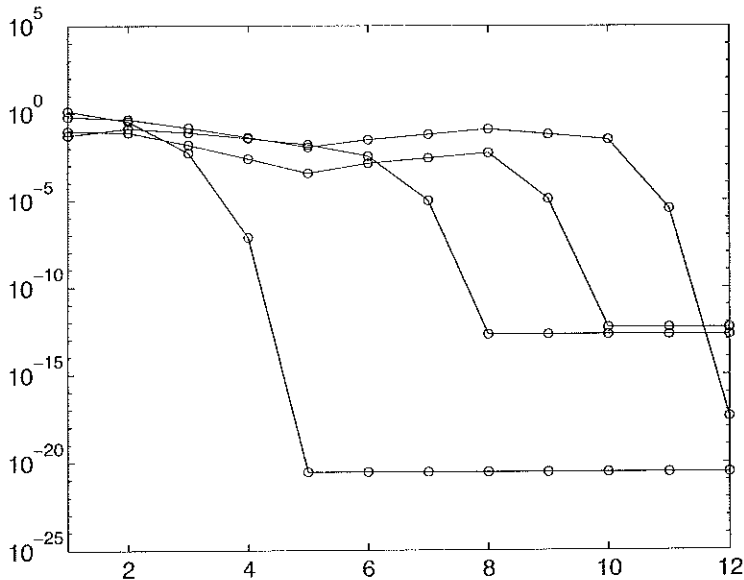
andamento della sottodiagonale per una matrice hermitiana

dimensione: 5, tolleranza richiesta: 1e-8

autovalori reali e distinti



senza traslazione dello spettro



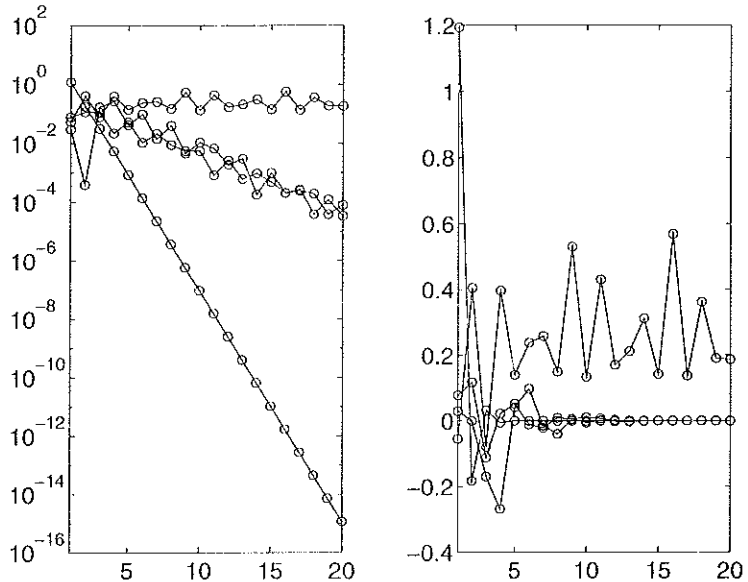
con traslazione dello spettro

## Metodo QR per la determinazione degli autovalori

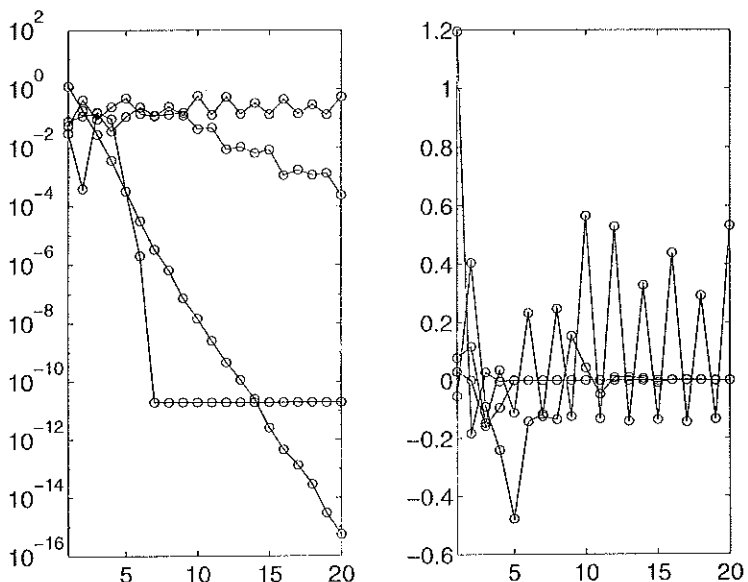
andamento della sottodiagonale per una matrice hermitiana

dimensione: 5, tolleranza richiesta: 1e-8

3 autovalori reali e 2 complessi coniugati



senza traslazione dello spettro



con traslazione dello spettro